экспонирования образцов (рис. 2) подтверждает необратимый расход поверхностных центров. В процессе роста частиц фотолитического металла формируются микрогетерогенные системы PbN<sub>6</sub>(Аб)-Pb (продукт фотолиза) [11, 14]. Генерированные в ОПЗ азида свинца пары носителей перераспределяются в контактном поле, сформированном из-за несоответствия между термоэлектронными работами выхода азида свинца и фотолитического свинца [11, 13, 14], с переходом неравновесных электронов из зоны проводимости PbN<sub>6</sub>(Аб) в свинец. Одновременно имеет место фотоэмиссия дырок из свинца в валентную зону азида свинца. Эти процессы могут стимулировать диффузию анионных вакансий к растущим частицам [11, 14]. В процессе фотолиза граница раздела контактов PbN<sub>6</sub>(Аб)-CdTe покрывается слоем фотолитического свинца и при больших степенях превращения фотолиз в этих системах будет в значительной степени определяться фотоэлектрическими процессами на границе  $PbN_6(Aб)-Pb(продукт фотолиза)-CdTe.$ 

#### СПИСОК ЛИТЕРАТУРЫ

- 1. Robbilard J.J. // J. Photog. Science. 1971. V. 19. P. 25
- 2. Levy B., Lindsey M. // Phot. Sci. and Eng. 1973. V. 17. № 2. P. 135 141.
- 3. Акимов И.А., Черкасов Ю.А., Черкашин М.И. Сенсибилизированный фотоэффект. М.: Наука, 1980, с. 384
- 4. Индутный И.З., Костышин М.Т., Касярум О.П., Минько В.И., Михайловская Е.В., Романенко П.Ф. Фотостимулированные взаимодействия в структу-

- рах металл полупроводник. Киев: Наукова думка, 1992, 240 с.
- 5. Суровой Э.П., Сирик С.М., Бугерко Л.Н. // Журнал физической химии. 2000. Т. 74. № 5. С. 927933.
- 6. Суровой Э.П., Сирик С.М., Захаров Ю.А., Бугерко Л.Н. // Журн. науч. и прикл. фотографии. 2002. Т. 47. № 5. С. 19 27.
- 7. Суровой Э.П., Бугерко Л.Н. // Химическая физика. 2002. Т. 21. № 7. С. 7478.
- 8. Суровой Э.П., Бугерко Л.Н. и др. // Материаловедение. 2002. № 9. С. 2733.
- 9. Суровой Э. П., Шурыгина Л. И., Бугерко Л. Н. // Химическая физика. 2003. Т. 22. № 6. С. 17-22.
- 10. Боуден Ф., Иоффе А. Быстрые реакции в твердых веществах. М.: Иностранная литература. 1962. 243 с.
- 11. Суровой Э.П., Бугерко Л.Н., Расматова С.В. // Журн. физ. химии. 2004. Т. 78. № 4. С. 1.
- 12. А.с. 1325332 СССР. МКИ G01N 21/55. Устройство для измерения спектров отражения в вакууме / А.И. Турова, Г.П. Адушев, Э.П. Суровой и др. Заявлено 10.11.1985; Опубл. 24.07.1987, Бюл. № 27. 5 с.: ил.
- 13. Суровой Э.П., Захаров Ю.А., Бугерко Л.Н. // Неорган. материалы. 1996. Т. 32. № 2. С. 162.
- 14. Суровой Э.П., Захаров Ю.А., Бугерко Л.Н. и др. // Журн. научн. и прикл. фотографии. 2001. Т. 46. № 3. С. 1.
- 15. Суровой Э.П., Бугерко Л.Н., Захаров Ю.А. и др. // Материаловедение. 2003. № 7. С. 18.
- 16. Кригер В.Г. Кинетика и механизмы реакций твёрдофазного разложения азидов тяжёлых металлов: Автореф. дис. ... докт. физ.-мат. наук. Кемерово: КемГУ, 2002. 39с.
- 17. Захаров Ю.А., Савельев Г.Г., Шечков Г.Т. // Изв. вузов. Химия и хим. технология. 1967. № 11. С. 1191.

# ФОТОСТИМУЛИРОВАННЫЕ ПРЕВРАЩЕНИЯ В АЗИДЕ СЕРЕБРА

С.М. Сирик, Г.О. Еремеева

Было установлено, что при экспонировании азида серебра светом  $\lambda$ <250 нм выделяется газообразный азот и нитрид серебра, а при облучении светом  $\lambda$ =365 нм продуктами фотолиза являются газообразный азот и металлическое серебро. Изучены кинетические закономерности образования фотолитического серебра и азота при воздействии на  $AgN_3(A_1)$  света  $\lambda$ =365 нм в интервале интенсивностей 3.77·10<sup>14</sup> ... 4.15·10<sup>15</sup> квант·см<sup>-1</sup>·с<sup>-1</sup>.

Ключевые слова: фотолиз, азид серебра.

## ОБЪЕКТЫ И МЕТОДЫ ИССЛЕДОВАНИЯ

Азид серебра марки  $A_1$  синтезировали методом двухструйной кристаллизации (в 0.2 н раствор нитрата серебра по каплям приливали 0.2 н раствор азида натрия, скорость

сливания 2 капли в минуту,  $\tau_{\text{синтеза}}$ =30 минут, T=293 K, pH=3). Навески азида серебра массой 125 мг помещали в чашечки диаметром 1 см, тщательно диспергировали в воде, сушили в темноте при комнатной температуре. Количество фотолитического серебра опре-

ПОЛЗУНОВСКИЙ ВЕСТНИК № 4-1 2011

деляли методами инверсионной вольтамперометрии (ИВА) (чувствительность метода  $10^{-8}$  М/л [6-9]), экстракционной фотометрии с дитизоном (ЭФ) (чувствительность метода  $10^{-5}$  М/л [10]) и масс-спектрометрии. Определение серебра методами ИВА и ЭФ включает следующие стадии:

- 1. экспонирование образцов светом лампы ДРТ-250 из области края собственного поглощения  $AgN_3$  ( $\lambda$ =365нм);
- 2. растворение неразложившейся матрицы  $AgN_3$  в 4н раствор тиосульфата натрия. Раствор тиосульфата натрия брался в избытке, чтобы предотвратить образование осадка  $Ag_2S_2O_3$ , поскольку последний растворяется в избытке тиосульфата натрия с образованием комплексных ионов  $[AgS_2O_3]^{\text{-}}$ ,  $[Ag(S_2O_3)_3]^{\text{5-}}$  и  $[Ag(S_2O_3)_2]^{\text{5-}}$ ;
- 3. отделение от раствора осадка серебра центрифугированием на центрифуге типа 3 10 при скорости вращения ротора 6000 об/мин в течение 5 мин и промывание осадка деионизованной водой с последующим центрифугированием по 5 мин;
- 4. растворение серебра в концентрированной азотной кислоте.

Для определения серебра методом инверсионной вольтамперометрии использовалась электродная система - ЭСИ (электродная система Иванова Ю.И. [11]) и полярограф ПА-2.

Электролитическое накопление серебра из фонового электролита (10 мл 0.2 н азотной кислоты), содержащего аликвоты исследуемого раствора, проводили при потенциале электролиза  $\phi_{an}$  = -0.7 В. Время электролиза  $\tau$ = 3 мин. Потенциал анодного пика серебра Фр = - 0.1 В. В выбранных условиях была снята калибровочная зависимость тока анодного пика от концентрации ионов серебра в растворе. В пределах концентрации ионов серебра 2·10<sup>-8</sup> ... 4·10<sup>-5</sup> М/л зависимость тока анодного пика от концентрации ионов серебра имеет линейный характер. Поэтому, определение концентрации ионов серебра в реальном объекте проводили методом добавок. В качестве добавок использовали стандартные растворы нитрата серебра с концентрациями 10<sup>-2</sup>, 10<sup>-3</sup>, 10<sup>-4</sup> М. Расчет количества серебра в пробе проводили по формуле:

$$v = C_x \cdot V_{o f u u} \cdot V_{np} / (V_{an} \cdot 1000),$$

где  $C_x$  - концентрация ионов серебра в электролитической ячейке (М/л),

$$C_x = h / (H - h) \cdot C_D \cdot V_D / V_{obm}$$

h, H - высоты пиков на вольтамперных кривых до (h) и после введения добавки (H) стандартного раствора (мм) соответственно;  $C_{\rm Д}$ ,  $V_{\rm Д}$  - концентрация и объем добавляемого ПОЛЗУНОВСКИЙ ВЕСТНИК № 4-1 2011

стандартного раствора;  $V_{\text{общ}}$  - объем раствора в электролитической ячейке (мл);  $V_{\text{пр}}$  - объем пробы после растворения в растворе  $\text{HNO}_3$  (мл);  $V_{\text{ал}}$  - объем аликвоты исследуемого раствора (мл).

Для определения количества фотолитисеребра экстракционноческого фотометрическим методом с дитизоном воспользовались методикой предложенной в [10]. К 2мл исследуемого раствора добавляли 2мл раствора дитизона в ССІ₄ (концентрация раствора 0.01 г/л), встряхивали в делительной воронке 30 с, после отстаивания и разделения фаз органическую фазу сливали в кювету и измеряли спектр поглощения. Вновь сливали органическую и неорганическую фазы, добавляли еще 1 мл раствора дитизона в CCI<sub>4</sub> и повторяли выше перечисленные операции до тех пор, пока оптическая плотность в максимуме поглощения при 462 нм не переставала изменятся. Концентрацию ионов серебра в реальном объекте определяли по калибровочной кривой зависимости изменения оптической плотности дитизона (ΔD) от концентрации ионов серебра (САд+). Расчет количества серебра (у) в пробе проводили по формуле:

$$v = C_{Ag^+} V/1000$$
,

где V - объем исследуемого раствора (мл). Для приготовления стандартных растворов использовали реактивы марки «х.ч.» и «ч. д.а.».

Измерения кинетических кривых скорости фотолиза ( $V_{\phi}$ ) проводили в высоком вакууме ( $P=1\cdot10^{-5}$  Па). В качестве датчика использовали лампу РМО-4С омегатронного масс-спектрометра ИПДО-1, настроенного на частоту регистрации конечного продукта фотолиза азида серебра - азота. По кинетическим кривым фотолиза определили количество выделившегося азота в зависимости от времени облучения, рассчитав площади под определенными участками кривых  $S_i$ . Общее количество выделившегося азота равно  $S=S_1+S_2+S_3+...+S_n$ . Используя уравнение разложения азида серебра  $2AgN_3=2Ag+3N_2$  рассчитывали количество образовавшегося серебра в процессе облучения азида:  $N_{Ag}=N_{N_2}$  / 1.5

Было установлено [1-5], что выделяющиеся при разложении твердофазные продукты оказывают существенное влияние на фотохимические и фотоэлектрические свойства азидов тяжелых металлов. Исследование автокаталитического и сенсибилизирующего влияния твердофазных продуктов на фотолиз азидов серебра и таллия [6-9], а

также параллельное изучение фотолиза и электрофизических свойств гетеросистем азид-металл (азид-полупроводник) [10-17] позволили существенно продвинуться в направлении понимания механизма фотолиза неорганических азидов при глубоких степенях превращения. В настоящей работе представлены результаты исследований кинетических и спектральных закономерностей образования продуктов в процессе фотолиза азида серебра.

#### РЕЗУЛЬТАТЫ И ОБСУЖДЕНИЕ

На рисунке 1 представлены кинетические кривые  $V_{\Phi}$  AgN<sub>3</sub> (A<sub>1</sub>) в зависимости от интенсивности падающего света λ=365нм. На кинетической кривой фотолиза  $AgN_3(A_1)$  (рис. 1) наблюдается несколько участков.

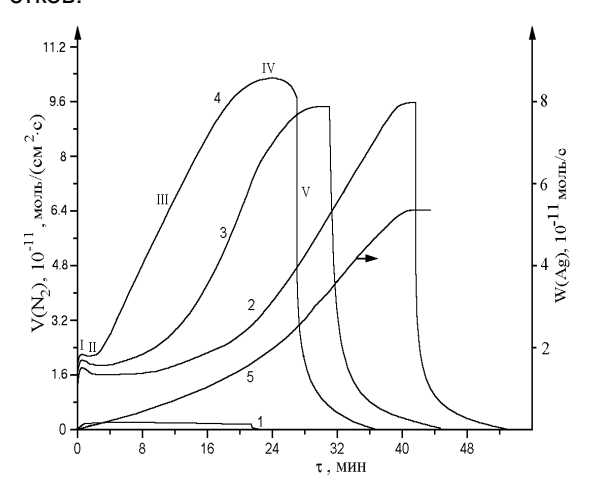


Рисунок 1. Зависимость скорости фотолиза AgN<sub>3</sub>(A<sub>1</sub>) от интенсивности падающего света (I, квант см $^{-2}$ с $^{-1}$ )  $\lambda$ =365нм: 1 - 3.77·10 $^{14}$ , 2 - 3.17·10 $^{15}$ , - 3.77·10 $^{15}$ , 4 - 4.15·10 $^{15}$ , 5 -рассчитанная кривая скорости образования фотолитического серебра.

В начальный момент облучения (тобл. <10 с) V<sub>Ф</sub> быстро достигнув максимального значения, уменьшается (начальный участок I) и принимает постоянное значение (тобп ≈2 мин, стационарный участок II), затем скорость фотолиза увеличивается до определенной величины ( $\tau_{\text{обл.}}$ <30 мин, участок ускорения III) и остается неизменной (участок насыщения IV), при дальнейшем освещении скорость фотолиза постепенно уменьшается. После прекращения экспонирования наблюдается участок темнового пост - газовыделения (V). По мере увеличения интенсивности падающего света V<sub>Ф</sub> на всех участках кинетической кривой увеличивается, сокращается продолжительность участков. В таблице 1 представлены результаты определения числа молей серебра (у) методами масс - спектрометрии, ИВА и ЭФ. Из анализа результатов, представленных в таблице 1 следует, что по мере увеличения интенсивности падающего света и времени освещения количество серебра возрастает.

В результате обработке кривых  $V_{\Phi}$ (рис.1) и данных, представленных в таблице 1, в координатах Inv от τ определили значения констант скорости фотолиза ( $k_{\phi}$  и  $k_{\text{ИВА}}$ ) (таблица 2). Из таблицы следует, что значения  $k_{\phi}$  и  $k_{\text{ИВА}}$  удовлетворительно совпадают.

Согласно существующим в настоящее время представлениям [1,4,5,12-14], фотолиз AgN<sub>3</sub> при воздействии света из области собственного поглощения идет в несколько стадий:

1. Генерация электрон-дырочных пар в азиде серебра:

$$N_3$$
 + h $\nu \rightarrow p$  + e;

2. Рекомбинация неравновесных носителей заряда:

$$T^+ + e \rightarrow T^0 + p \rightarrow T^+$$

где T<sup>+</sup> - центр рекомбинации;

3. Переход электронов на уровни поверхностных электронных состояний [5]:

$$T_n^+ + e \rightarrow T_n^0$$

которые по нашему мнению являются центрами образования частиц серебра;

4. Образование конечных продуктов фотолиза азота и серебра (4)

где V<sub>а</sub> и V<sub>к</sub> анионная и катионная вакансии. Рост частиц серебра при фотолизе  $AgN_3(A_1)$ , также как и при фотолизе галогенидов серебра [16] можно представить как захват электрона растущей частицей серебра, имеющей заряд + или 0 ( $Ag_m^+$  и  $Ag_m^0$ ):  $e + Ag_m^+ \rightarrow Ag_m^0 + e \rightarrow Ag_m^-$ .

$$e + Aq_m^+ \rightarrow Aq_m^0 + e \rightarrow Aq_m^-$$

Таблица 2.

Константы скорости автопроявления (k<sub>A</sub>), накопления фотолитического серебра, определяемого методами ИВА (кива) и масс - спектрометрии (k<sub>ф</sub>).участков.

I, 10 <sup>15</sup> ,	k <sub>φ</sub> , c <sup>-1</sup>	k <sub>ивА</sub> , с <sup>-1</sup>	k <sub>A</sub> , c <sup>-1</sup>
квант-см <sup>-2</sup> -с <sup>-1</sup>			
3.17	3.55·10 <sup>-3</sup>	2.98·10 <sup>-3</sup>	3.04·10 <sup>-3</sup>
	±1.34·10 <sup>-3</sup>	±1.72·10 <sup>-3</sup>	±1.44·10 <sup>-3</sup>
3.8	2.29·10 <sup>-3</sup>	2.59·10 <sup>-3</sup>	2.4·10 <sup>-3</sup>
	±4.4·10 <sup>-4</sup>	±5.9·10 <sup>-4</sup>	±9.8·10 <sup>-4</sup>

Подвижный ион серебра Ag<sup>+</sup> нейтрализует заряженный центр (Agm-) или закрепляется на нейтральном центре  $Ag_{m}^{\ 0}$ :  $Ag_{m}^{\ +} + Ag_{m+1}^{\ +} (7), Ag_{m}^{\ 0} + Ag^{\ +} \to Ag_{m+1}^{\ +} (8).$ 

## ФОТОСТИМУЛИРОВАННЫЕ ПРЕВРАЩЕНИЯ В АЗИДЕ СЕРЕБРА

Для определения лимитирующей стадии процесса роста частиц серебра оценили время, в течение которого подвижный ион Ag нейтрализует локализованный электрон (стадия 7) и диффундирует к нейтральному центру (стадия 8).

Время релаксации по механизму дрейфа ионов  $Ag^{\dagger}$  в кулоновском поле к локализованному электрону равно максвеловскому времени релаксации [16]:  $\tau_i = \epsilon/4\pi\sigma$ ,

Таблица 1. Изменение числа молей серебра в зависимости от интенсивности падающего света, времени облучения  $AgN_3$  ( $A_1$ ) светом  $\lambda$  =365 нм.

J,10 <sup>15</sup> ,	τ, C	$v_{ABTORP} = v_{MBA}$ -	v <sub>Ag</sub> , 10 <sup>-10</sup>	ν <sub>Ag</sub> , 10 <sup>-10</sup>	ν <sub>Ag</sub> , 10 <sup>-10</sup>
квант⋅см <sup>-2</sup> ⋅с <sup>-1</sup>		$v_{\Phi}$ , $10^{-10}$	[Φ]	[ИВА]	[ЭΦ]
3.17	10	0,02	$0.8 \pm 0.02$	$0.82 \pm 0.05$	
	30	10,1	2.4 ± 0.06	12.5 ± 0.04	
	180	11	19.8 ± 0.06	30,8 ± 0.23	
	1200	12	139.9 ± 0.72	151.1 ± 1.2	
3.8	10	2,13	$2.05 \pm 0.06$	4.18 ± 0.01	
	30	14,49	12.21 ± 0.05	26.7 ± 0.3	
	40	20,78	16.72 ± 0.07	37.5 ± 0.2	
	60	239,8	25.74 ± 0.1	264.8 ± 0.9	
	180	300,8	72.22 ± 0.4	372.8 ± 1.2	
	360	794	166.3 ± 1.2	940.1 ± 2.3	
	900	3609	553.1 ± 3.4	4162.3 ± 5.4	2700 ± 11
	1200	5110	839.4 ± 8.9	5950.2 ± 10	4834 ± 14
	1800	7338	1494.9 ± 9.1	8832 ± 12	8123 ± 16
	2700	20444	3356.1 ±15	23700 ± 12	19760 ± 18

где:  $\epsilon$  - диэлектрическая проницаемость AgN<sub>3</sub>(A<sub>1</sub>), 4 [17],  $\sigma$  - удельная проводимость AgN<sub>3</sub>. При T=293 K  $\sigma$ =1·10<sup>-12</sup> ом<sup>-1</sup>·см<sup>-1</sup> [18] и  $\tau_i$  $\approx$ 0.35 c (k<sub>1</sub> $\approx$ 1/0.35 $\approx$ 2.85 c<sup>-1</sup>).

Среднее время релаксации при диффузионном протекании процесса (стадия 8) может быть оценено [16]:  $\tau_n = e^2/\sigma akT$ .

где: е - заряд электрона, а - постоянная решетки  $AgN_3$ ,  $5.6\times10^{-8}$  см, k - постоянная Больцмана, Т-температура, 293К. При T=293  $\tau_n{\approx}1.14\times10^2c$  ( $k_2{\approx}1/1.14\cdot10^2$   ${\approx}8.8\cdot10^{-3}$   $c^{-1}$ ).

Приведенные приближенные оценки, а также совпадение значений  $k_{\Phi},\ k_{\text{ИВА}},\ k_2$  дают основание предположить, что лимитирующей стадией процесса роста фотолитического серебра является диффузия ионов серебра к нейтральному центру  $Ag_m^{\circ}$ . При условии, что концентрация центров роста (T<sub>n</sub><sup>+</sup>) и скорость роста частиц серебра постоянная, зависимость скорости реакции от времени экспонирования, согласно [19], описывается уравне- $\chi = 2\pi (M^2/d^2)W_{yd}^3N$ , М - молярная нием 1. где масса серебра, d - эффективная плотность серебра, W<sub>уд</sub> - удельная скорость реакции, N количество частиц серебра, а - время, при котором скорость касания растущих ядер максимальна,  $\sigma$  - рассеяние случайных величин вокруг ее математического ожидания.

Чем меньше  $\sigma$ , тем больше ядер касаются к моменту времени  $\tau$ =а и тем более равномерно распределены они на поверхности. Первый член правой части уравнения (1) выражает скорость реакции при независимом росте ядер, а остальные — поправку, связанную с перекрыванием ядер. Параметр  $\chi$  предварительно определяли из данных для начального участка кинетической кривой (рис.1, кривая 2) [19]:

$$n_a = \int_0^a w d\tau = \frac{1}{3} \chi a^3,$$
 (2)

где n<sub>a</sub> - количество превращенного вещества. Численное значение  $\chi = 0.1*10^{-11}$  моль\*мин<sup>-3</sup>. Параметр а и  $\sigma$  определяли сопоставляя кинетическую кривую V<sub>Ф</sub> (рис.1) с калибровочными кривыми, построенными при различных значениях а и  $\sigma$  по уравнению (1). Получили, что при  $\chi$  = 0.1·10<sup>-11</sup> моль\*мин<sup>-3</sup> а=6 мин и  $\sigma$ =20. Рассчитанная по формуле (1) кривая скорости образования частиц серебра представлена на рис.1. По тангенсу угла наклона зависимости  $InC_{Ag}$  =  $f(\tau)$ , где  $C_{Ag}$  - концентрация фотолитического серебра, оценили константу скорости роста частиц фотолитического серебра ( $k = 4.3 \cdot 10^{-3} \text{ c}^{-1}$ ). Рассчитанное значение к удовлетворительно согласуется с константой скорости диффузии междуузельного катиона серебра Ag<sup>+</sup> к растущей частице серебра  $(k_2)$  и с константой скорости фотолиза, определенной из экспериментальных данных (таблица 2). Согласно [19], удельная скорость образования частиц серебра

 $W_{yd}=2\chi a^2/\pi gS_{yd}$ 

где :  $S_{yq}$  - удельная поверхность азида серебра,  $S_{yq}$ =6·10<sup>6</sup> см<sup>2</sup>·моль<sup>-1</sup> [20],

g - навеска исходного образца.

Поскольку коэффициент поглощения для азида серебра при  $\lambda$ =365 нм составляет  $10^5$  [17], то процесс фотолиза протекает на глубине до  $10^{-5}$  см, возможно вместо значения g, использовать  $g_1 = 4.1 \cdot 10^{-7}$ моль, рассчитанное из кривой полного разложения азида серебра. При  $g_1$  получили, что  $W_{\nu d}$ =8.7· $10^{-11}$  моль с

 $^{1}$ .Зная  $W_{yд}$ , оценили размеры частиц фотолитического серебра [19]:

$$r = \frac{M}{d}W_{yo}(t-\tau) \quad (3).$$

Полученные данные удовлетворительно согласуются с результатами электронной микроскопии [21]. Из сопоставления результатов, представленных в таблице 1 следует что, количества серебра, определяемые методами ИВА, ЭФ и масс-спектрометрии значительно различаются. По нашему мнению, основной причиной наблюдаемых различий в количестве определяемого серебра являются химические реакции, протекающие при

$$w = \chi \tau^{2} - 2 \chi \tau \left\{ \frac{\left(\sigma/\sqrt{2\pi}\right) \exp\left[-(\tau - a)^{2}/2\sigma^{2}\right] - \left(\sigma/\sqrt{2\pi}\right) \exp\left(-a^{2}/2\sigma^{2}\right)}{+\left[(\tau - a)/\sqrt{2\pi}\right] \times \int_{0}^{\tau} \exp\left[-(\tau - a)^{2}/2\sigma^{2}\right] d\tau} \right\}, (1)$$

участии растворителя AgN<sub>3</sub>(A<sub>1</sub>) - раствора тиосульфата натрия, которые приводят к восстановлению (автопроявлению [22]) ионов серебра. Обнаруженная с помощью электронного микроскопа структура отложений серебра, образующихся при взаимодействии предварительно облученных образцов  $AgN_3(A_1)$  с раствором тиосульфата натрия, свидетельствует о том, что автопроявление локализовано на границе раздела микрогетеросистем «AgN<sub>3</sub>(A<sub>1</sub>)-Ag (продукт фотолиза)» [21]. Граница раздела микрогетерогенных систем, вероятно, является областью повышенной реакционной способности. Таким образом, чем больше площадь границы раздела «AgN<sub>3</sub>(A<sub>1</sub>)-Ag», тем больше и количество восстановленного серебра (табл. 1). В присутствии растворителя электрон от азид аниона  $N_3$  переходит к растущей частице серебра, имеющей заряд + или 0 ( $Ag_m^+$  и  $Ag_m^0$ ) (реакции 5,6), подвижный ион серебра  $Ag^+$  нейтрализует заряженный центр (Ag<sub>m</sub>-) или закрепляется на нейтральном центре Agm (реакции 7,8). Чередование стадий (5,6) или (7,8) приводит к накоплению дополнительного (не фотолитического) серебра. Дырки взаимодействуют с образованием азота по реакциям (4).

По тангенсу угла наклона зависимости  $\ln v_{Ag}$  от  $\tau$  оценили значение константы скорости автопроявления ( $k_A$ ). Оказалось, что  $k_A$  совпадает с константой  $k_{\varphi}$  (таблица 2). Этот факт, свидетельствует о том, что лимитирующей стадией процесса накопления фотолитического серебра и автопроявления является диффузия ионов серебра к нейтральному центру  $Ag_m^0$ .

### СПИСОК ЛИТЕРАТУРЫ

- 1. Боуден Ф., Иоффе А.Ф. Быстрые реакции в твердых веществах. М.: Мир. 1969. 247 с.
- 2. Verneker, V.R.P. // J. Phys. Chem. 1968. V. 72. № 5. P. 1733–1736.
- 3. Дубовицкий А.В., Дубовицкий А.В., Прохорин Е.В., Яковлев В.В., Манелис Г.Б. // Химия высоких энергий. 1976. Т.10. №1. С. 59-63.
- 4. Суровой Э.П., Сирик С.М., Бугерко Л.Н. // Химическая физика. 1999. Т.18. №2. С. 44-46.
- 5. Суровой Э.П., Захаров Ю.А., Бугерко Л.Н. // Неорганические материалы. 1996. Т. 32. № 2. С. 162–164.
- 6. Брайнина Х.З. Инверсионная вольтамперометрия твердых фаз. М.: Химия. 1972. С. 44-47.
- 7. Пятнитский И.В., Сухан В.В. Аналитическая химия серебра. М.: Наука. 1979. 256 с.
- 8. Выдра Ф, Штулик К., Юлакова Э. Инверсионная вольтамперометрия. М.: Мир. 1980. 240 с.
- 9. Брайнина Х.З., Нейман Е.Я. Твердофазные реакции в аналитической химии М.: Химия. 1982. С. 224-228.
- 10. Иванчев Г. Дитизон и его применение. М.: ИЛ. 1961. 451 с.
- 11. Иванов Ю.И. // Патент 2054169 РФ, МПК<sup>6</sup>. G01 №27/48. Заявлено 11.08.92, опубликовано 10.02 96.
- 12. Янг Д. Кинетика разложения твердых веществ. М.: Мир. 1969. 263с.
- 13. Deb S.K. *II* Trans. Farad. Soc. 1969. V. 65. P. 3187–3194.
- 14. Колпаков О.Л. Кинетические особенности фото- и радиационных процессов в системах с ростом центров рекомбинации. Автореф. дисс ... канд. физ. мат. наук. Кемерово: КемГУ, 1990. 22с.
- 15. Захаров Ю.А., Суровой Э.П. // Журн. науч. и прикл. фотогр. и кинематогр. 1981. Т.25. №1. С.24-29.

## ФОТОСТИМУЛИРОВАННЫЕ ПРЕВРАЩЕНИЯ В АЗИДЕ СЕРЕБРА

- 16. Мейкляр Г.В. Физические процессы при образовании скрытого фотографического изображения. М.: Наука. 1972. 399с.
- 17. Диамант Г.М. Неравновесная проводимость в процессе фотохимической реакции в азиде серебра. Автореф. дис... канд.физ-мат.наук.- Кемерово: КемГУ, 1986. 22с.
- 18. Захаров Ю.А., Гасьмаев Л.В., Колесников В.К. // Журнал физической химии. 1976. Т.50. №.7. С. 1669-1673.
- 19. Розовский А.Я. Гетерогенные химические реакции. Кинетика и механизм. М.: Наука. 1980. 264с.
- 20. Савельев Г.Г., Захаров Ю.А., Гаврищенко Ю.В. // Журн. науч. и прикл. фотогр. и кинематогр. 1969. Т.14. №6. С. 466-468.
- 21. Сирик С.М. Фотолиз азида серебра и гетеросистем «азид серебра металл», «азид серебра полупроводник». Автореф. дисс... канд. хим. наук. Кемерово: КемГУ, 1999. 20 с.
- 22. Рябых, С.М. // Журн. науч. и прикл. фотогр. и кинематогр. 1983. Т.28. №1. С. 42-46.

## ФОРМИРОВАНИЕ ПРОДУКТОВ ФОТОЛИЗА АЗИДА СВИНЦА

Л.Н. Бугерко, Г.О. Еремеева, А.И. Мохов

Установлено, что предварительное облучение азида свинца светом ( $\lambda$ =365 нм, I=2·10<sup>15</sup> квант·см<sup>-2</sup>·с<sup>-1</sup>) в вакууме ( $1\cdot10^{-5}$  Па) наряду с увеличением скорости фотолиза и фототока приводит к появлению новой длинноволновой (до  $\lambda$ =600нм) области спектральной чувствительности. Определены константы скорости фотолиза азида свинца. В результате измерений контактной разности потенциалов, вольт-амперных характеристик, фото-ЭДС, фототока установлено, что при фотолизе азида свинца формируются микрогетерогенные системы  $PbN_6(Am) - Pb$  (продукт фотолиза). Показано, что лимитирующей стадией образования фотолитического свинца является диффузия анионных вакансий к нейтральному центру  $Pb_n^0$ .

Ключевые слова: азид свинца, фотолиз, микрогетерогенные системы.

Было установлено [1-17], что выделяющиеся при разложении твердофазные продукты оказывают существенное влияние на фотохимические и фотоэлектрические свойства азидов тяжелых металлов. В настоящем сообщении представлены результаты исследований кинетических и спектральных закономерностей образования продуктов в процессе фотолиза азида свинца.

## ОБЪЕКТЫ И МЕТОДЫ ИССЛЕДОВАНИЯ

Азид свинца марки Ам (PbN<sub>6</sub>(Aм)) синтезировали методом двухструйной кристаллизации, медленным (в течение 60 минут) сливанием «струя в струю» водных 0,2 н растворов дважды перекристаллизованного технического азида натрия и нитрата свинца (квалификации х.ч.) при рН 3 и T = 293К [18]. Образцы для исследований готовили прессованием таблеток PbN<sub>6</sub>(Aм) массой 150 мг при давлении  $1\cdot 10^{-3}$  кг·см<sup>-2</sup>, либо путем нанесения 150 мг навесок PbN<sub>6</sub>(Aм) на кварцевую пластинку в виде спиртовой суспензии, с последующей отгонкой спирта в вакууме. Измерения скорости фотолиза (V<sub>Ф</sub>), фототока (i<sub>Ф</sub>) и фото-ЭДС (U<sub>Ф</sub>) образцов проводили в вакуу-

ме (1×10<sup>-5</sup> Па). Источниками света служили ртутная (ДРТ-250) и ксеноновая (ДКсШ-1000) лампы. Для выделения требуемого участка спектра применяли монохроматор МСД-1 и набор светофильтров. Актинометрию источников света проводили с помощью радиационного термоэлемента РТ-0589. В качестве датчика при измерении  $V_{\Phi}$  использовали лампу РМО - 4С омегатронного масс - спектрометра ИПДО – 1, настроенного на частоту регистрации азота. Измерения іф и Uф проводили на установке, включающей электрометрический вольтметр В7-30, либо электрометр TR – 1501 [15]. Спектры диффузного отражения (ДО) измеряли при давлении 101,3 кПа на спектрофотометре SPECORD - M40 с приставкой на отражение 8°d и в вакууме (1·10-4 Па) [16]. Контактную разность потенциалов (КРП) между азидом свинца, свинцом и электродом сравнения из платины измеряли, используя модифицированный метод Кельвина [19]. Топографию твердофазных продуктов фотолиза азида свинца изучали методом угольных реплик на электронном микроскопе УЭМВ - 1000.